



AB 1294



**LABORATORIUM ANTEO**  
**POLAND Sp. z o.o. sp. k.**  
**Laboratorium Badawcze Anteo**  
ul. Chryzantem 23/1  
41-700 Ruda Śląska  
e-mail: laboratorium@anteo.pl

**SPRAWOZDANIE Z BADAŃ PÓL  
ELEKTROMAGNETYCZNYCH W OTOCZENIU STACJI  
BAZOWEJ TELEFONII KOMÓRKOWEJ SIECI P4  
DLA POTRZEB OCHRONY LUDZI I ŚRODOWISKA**

Nr stacji	Miejsce wykonania pomiarów:	Data wykonania pomiarów:	Data wydania sprawozdania:
<b>WOD2508B</b>	<b>Wodzisław Śląski, os. 1-go Maja, dz. nr 2313/35</b>	<b>2021-09-03</b>	<b>2021-09-08</b>
Zleceniodawca:	<b>P4 Sp. z o.o. ul. Wynalazek 1, 02-677 Warszawa</b>		
Nr ewidencyjny sprawozdania:	<b>SP_ 2021-09-001-6a-S_WOD2508B</b>		
Sprawozdanie wykonał:	Sprawdził:	Autoryzował/Data:	
mgr Daniel Kukielka Kierownik laboratorium	mgr Magdalena Gabriel Specjalista ds. jakości	mgr Daniel Kukielka Kierownik laboratorium	

## 1. Wstęp

Badania wykonano na podstawie umowy z dnia 2018-08-31 pomiędzy firmą **Laboratorium Anteo Poland sp. z o.o. sp. k., ul. Chryzantem 23/1, 41-700 Ruda Śląska**, a firmą **P4 Sp. z o.o., ul. Wynalazek 1, 02-677 Warszawa**, przekazanej do realizacji Laboratorium Badawczemu Anteo.

Sprawozdanie przedstawia wyniki sprawdzenia dotrzymania dopuszczalnych poziomów pól elektromagnetycznych w środowisku w otoczeniu instalacji - stacji bazowej **WOD2508B** będącej obiektem radiokomunikacyjnym P4 Sp. z o.o., w miejscach dostępnych dla ludności w otoczeniu ww. instalacji.

Wyniki pomiarów odnoszą się wyłącznie do istniejącej konfiguracji instalacji antenowej. Każda zmiana konfiguracji o ile zmiana ta może mieć wpływ na zmiany poziomów pól elektromagnetycznych wiąże się z koniecznością wykonania nowego badania

Laboratorium badawcze akredytowane przez PCA, Nr AB1294. Data ważności certyfikatu akredytacji: od 2019-10-28 do 2023-10-27. Zakres wykonywanych przez laboratorium badań podany jest pod adresem [www.pca.gov.pl](http://www.pca.gov.pl).

Akredytacja Laboratorium w odniesieniu do normy ISO\IEC 17025:2018-02 oznacza spełnienie wymagań dotyczących kompetencji technicznych i systemu zarządzania, koniecznych dla zapewnienia wiarygodnych technicznie wyników badań.

## 2. Metoda badań

- Załącznik do rozporządzenia Ministra Klimatu z dnia 17 lutego 2020 r. w sprawie sposobów sprawdzania dotrzymywania dopuszczalnych poziomów pól elektromagnetycznych w środowisku (Dz. U. 2020, poz. 258).

## 3. Akty prawne

- Rozporządzenie Ministra Klimatu z dnia 17 lutego 2020 r. w sprawie sposobów sprawdzania dotrzymywania dopuszczalnych poziomów pól elektromagnetycznych w środowisku (Dz. U. 2020, poz. 258).
- Rozporządzenie Ministra Zdrowia z dnia 17 grudnia 2019 r. w sprawie dopuszczalnych poziomów pól elektromagnetycznych w środowisku (Dz. U. 2019, poz. 2448).

## 4. Odstępstwa/ograniczenia i uwarunkowania metody badawczej

W związku z ogłoszonym stanem epidemii, zgodnie z Obwieszczeniem Marszałka Sejmu Rzeczypospolitej Polskiej z dnia 31 marca 2021 r. w sprawie ogłoszenia jednolitego tekstu o szczególnych instrumentach wsparcia w związku z rozprzestrzenianiem się wirusa SARS-CoV-2, art.31 pkt.2 (ustawy Dz. U. 2021, poz. 737), nie przeprowadza się pomiarów w lokalach mieszkalnych oraz lokalach użytkowych zlokalizowanych na terytorium objętym stanem nadzwyczajnym, stanem zagrożenia epidemicznego lub stanem epidemii.

## 5. Lokalizacja obiektu badań

Badany obiekt znajduje się w miejscowości Wodzisław Śląski, Os. 1-go Maja, dz. nr 2313/35.  
Współrzędne geograficzne obiektu: 18°29'47.40"E, 49°58'43.30"N.

## 6. Opis badania

Badany obiekt jest obiektem radiokomunikacyjnym sieci komórkowej (radiowa stacja bazowa telefonii mobilnej w sieci o przeznaczeniu publicznym). Anteny zainstalowano na wieży stalowej. Na obiekcie zainstalowano urządzenia pracujące w pasmach częstotliwości 2600MHz, 2100MHz, 1800MHz, 900MHz, 800MHz oraz radiolinii 18GHz, 23GHz, 32GHz oraz 80GHz. Pomiary pól elektromagnetycznych zostały wykonane w szczególności w tych miejscach, w których na podstawie przeprowadzonych obliczeń,

stwierdzono występowanie w danych zakresach częstotliwości pól elektromagnetycznych o poziomach zbliżonych do dopuszczalnych. Na kierunku zbliżonym do azymutu anten pomiary wykonano do odległości  $10 \times H_{ANT}$  (gdzie  $H_{ANT}$  - oznacza wysokość zawieszenia anteny względem powierzchni terenu wyrażoną w m).

Wszelkie dane dotyczące źródeł promieniowania (min. wysokość anten, częstotliwość pracy) oraz współrzędne geograficzne obiektu pochodzą od zlecniodawcy.

Badanie zostało przeprowadzone w godz. od 10:00 do 12:00 przez:

Marcin Bieda – Technik ds. pomiarów PEM

## 7. Warunki atmosferyczne

Temperatura powietrza	Przed: 19,8° C	Po: 20,0° C
Wilgotność powietrza	Przed: 65,7%	Po: 65,1%

Brak opadów atmosferycznych w czasie przeprowadzania badania.

Pomiary zostały wykonane przy temperaturze i wilgotności względnej nie wyższej niż dopuszczalna specyfikacja miernika.

## 8. Parametry techniczne obiektu badań

Parametry techniczne przekazane przez zlecniodawcę.

Tabela nr 1 – Parametry systemu nadawczo – odbiorczego pracującego w paśmie 2600MHz, 2100MHz, 1800MHz, 900MHz, 800MHz

Tabela nr 2 – Parametry linii radioliniowej

**Parametry systemu nadawczo odbiorczego pracującego w paśmie – 2600MHz, 2100MHz, 1800MHz, 900MHz, 800MHz – tabela 1**

Charakterystyka promieniowania				kierunkowa					
Rzeczywisty czas pracy [h/dobę]				Całodobowa 24h					
Warunki pracy				Znamionowe					
Rodzaj wytwarzanego pola				stacjonarne					
Lp.	Typ nadajnika	Antena Producent / Typ	Azymut [°]	Wysokość środka elektr. anteny [m n.p.t.]	Pasmo [MHz]	Kąt nachylenia [°]	EIRP dla anteny [W]	LON	LAT
1	DBS3xxx/5xxx	Huawei A704516R0	110	43,8	800	7	1416	18°29'47.40"E	49°58'43.30"N
2	DBS3xxx/5xxx	Huawei A704516R0	110	43,8	800	7	1416	18°29'47.40"E	49°58'43.30"N
3	DBS3xxx/5xxx	Huawei ATR4518R6	110	43,7	900	7	17665	18°29'47.40"E	49°58'43.30"N
	1800				7	18°29'47.40"E		49°58'43.30"N	
	2100				7	18°29'47.40"E		49°58'43.30"N	
4	DBS3xxx/5xxx	Huawei ADU4518R6	110	44	2600	12	9662	18°29'47.40"E	49°58'43.30"N
5	DBS3xxx/5xxx	Huawei A704516R0	240	43,8	800	8	1416	18°29'47.40"E	49°58'43.30"N
6	DBS3xxx/5xxx	Huawei A704516R0	240	43,8	800	8	1416	18°29'47.40"E	49°58'43.30"N
7	DBS3xxx/5xxx	Huawei ATR4518R6	240	43,7	900	8	17665	18°29'47.40"E	49°58'43.30"N
	1800				8	18°29'47.40"E		49°58'43.30"N	
	2100				8	18°29'47.40"E		49°58'43.30"N	
8	DBS3xxx/5xxx	Huawei ADU4518R6	240	44	2600	12	9662	18°29'47.40"E	49°58'43.30"N
9	DBS3xxx/5xxx	Huawei A704516R0	350	43,8	800	7	1416	18°29'47.40"E	49°58'43.30"N
10	DBS3xxx/5xxx	Huawei A704516R0	350	43,8	800	7	1416	18°29'47.40"E	49°58'43.30"N
11	DBS3xxx/5xxx	Huawei	350	43,7	900	7	17665	18°29'47.40"E	49°58'43.30"N

	DBS3xxx/5xxx	ATR4518R6			1800	7		18°29'47.40"E	49°58'43.30"N
	DBS3xxx/5xxx				2100	7		18°29'47.40"E	49°58'43.30"N
12	DBS3xxx/5xxx	Huawei ADU4518R6	350	44	2600	11	9662	18°29'47.40"E	49°58'43.30"N

### Parametry systemu nadawczo – odbiorczego linii radioliniowej – Tabela nr 2

<b>Charakterystyka promieniowania</b>				kierunkowa					
<b>Rzeczywisty czas pracy [h/dobę]</b>				24					
<b>Rodzaj wytwarzanego pola</b>				stacjonarne					
<b>Linia radiowa</b>				<b>Antena</b>					
L p.	Typ nadajnika	Częstotliwość pracy [GHz]	Moc wyjściowa [dBm]	Typ/producent	Średnica anteny [m]	Azymut [°]	Wysokość zainstal. [m]	LON	LAT
1	OPTIX RTN/HUAWEI	80	19	0.3-80(VHLP1-80)	0,3	176	41,5	18°29'47.40"E	49°58'43.30"N
2	OPTIX RTN/HUAWEI	23	18	0.6-23(VHLP2-23)	0,6	183	41,8	18°29'47.40"E	49°58'43.30"N
3	OPTIX RTN/HUAWEI	23	21	0.3-23(VHLPX1-23)	0,3	251	41,2	18°29'47.40"E	49°58'43.30"N
4	OPTIX RTN/HUAWEI	18	28,5	0.6-18(VHLPX2-18)	0,6	252	41,5	18°29'47.40"E	49°58'43.30"N
5	OPTIX RTN/HUAWEI	80	19	0.6-80(VHLP2-80)	0,6	359	41,8	18°29'47.40"E	49°58'43.30"N
6	OPTIX RTN/HUAWEI	32	23	0.3-32(VHLP1-32)	0,3	359	41,8	18°29'47.40"E	49°58'43.30"N

## 9. Sposób identyfikacji pola elektromagnetycznego

Niezbędnych informacji na temat źródeł pól udzielił Specjalista ds. Administracji Projektu P4 Sp. z o.o., który nie brał udziału w badaniach. Identyfikację źródeł i parametrów technicznych wykonano na podstawie analizy przekazanej ze zleceniem dokumentacji oraz obserwacji w miejscu wykonywania badań.

Uwzględniono podaną przez zleceniodawcę poprawkę pomiarową o wartości **1,67**. Z przekazanych przez zleceniodawcę informacji wynika, iż po uwzględnieniu poprawki w/w urządzenia podczas pomiaru pracowały w warunkach zgodnych z parametrami w pkt. 8. Z informacji zleceniodawcy wynika, że podczas badania anteny użytkownika o sterowanych wiązkach zostały ustawione w sposób opisany zgodnie z punktem 13 ppkt.2 Rozporządzenia Ministra Klimatu (Dz. U. 2020, poz. 258).

## 10. Opis terenu

Stacja bazowa telefonii komórkowej sieci P4 Sp. z o.o. WOD2508B zlokalizowana jest na wieży stalowej w miejscowości Wodzisław Śląski, os. 1-go Maja, dz. nr 2313/35. Anteny sektorowe są zainstalowane na wysokości 43,7m, 43,8m oraz 44,0m n. p. t. Urządzenia nadawczo – odbiorcze znajdują się w szafach, które umieszczone są na gruncie. Bezpośrednim sąsiedztwem stacji są pola uprawne, tereny zielone oraz zabudowa mieszkaniowa.

W badanym środowisku zidentyfikowano urządzenia innych operatorów mogące mieć wpływ na wyniki mierzzonego pola EM. Ich wpływ na poziom pól elektromagnetycznych w środowisku został uwzględniony w przekazanej poprawce pomiarowej.

## 11. Sprzęt pomiarowy

Tabela nr 3 – Sprzęt pomiarowy

Lp.	Nazwa i typ urządzenia	Numer identyfikacyjny
1.	Zestaw pomiarowy NARDA NBM-520 wraz z sondą EF6091*	2403/01B D-0648 2402/04B 01056

2.	Zestaw pomiarowy NARDA NBM-520 wraz z sondą EF0392*	2403/01B D-0648 2402/12B D-0315
3.	Termohigrometr Voltcraft BL-20 TRH	140719860
4.	Dalmierz laserowy GLM 250 VF	007069590

\*Zestaw pomiarowy przed wykonaniem pomiarów został sprawdzony za pomocą uniwersalnego testera sond UTEST-7

Tabela nr 4 – Szerokopasmowe mierniki pola elektromagnetycznego

Lp.	Nazwa i typ urządzenia	Zakres pomiarowy	Numer świadectwa wzorcowania	Data następnego wzorcowania
1.	Miernik Narda NBM-520	Zależny od sondy	LWiMP/W/020/21**	2023-01-29
2.	Sonda Narda EF6091	0,79 – 302V/m 80MHz – 90GHz	LWiMP/W/020/21**	2023-01-29
3.	Sonda Narda EF0392	0,48 – 990V/m 0,1MHz – 4GHz	LWiMP/W/020/21**	2023-01-29

\*\*LWiMP – Laboratorium Wzorców i Metrologii Pola Elektromagnetycznego, Instytut Telekomunikacji, Teleinformatyki i Akustyki, Politechnika Wroclawska

Tabela nr 5 – Sprzęt uzupełniający

Lp.	Nazwa i typ urządzenia	Zakres pomiarowy	Numer świadectwa wzorcowania	Data następnego sprawdzenia
1.	Termohigrometr Voltcraft BL-20 TRH	-20 ÷ +60°C 0 – 100%RH	648-1652/21***	2022-07-15
2.	Dalmierz laserowy Bosch GLM 250 VF	0,05 – 250m	2239.8-M11-4180-1039/11****	2021-12-23
3.	Urządzenie GPS H-Target Qmini	-	-	2021-09-10

\*\*\*Laboratorium Pomiarowe INTROL

\*\*\*\*Zakład Długości Kąta GUM

## 12. Wyniki badań

Tabela nr 6 – Wartości natężenia pola elektrycznego i magnetycznego

Nr pionu	Opis miejsca pomiaru	Zmierzona wartość natężenie pola <sup>2</sup> E [V/m]	Natężenie pola <sup>3</sup> E [V/m]	Natężenie pola <sup>4</sup> H [A/m]	Wysokość Pomiaru <sup>5</sup> [m]	Współrzędne geograficzne pionu	Wartości WME <sup>6</sup>	Wartości WMH <sup>6</sup>
1	GKP 110°, teren przy wieży	0,8	1,7	0,005	0,3-2,00	49°58'43.6"N 18°29'47.6"E	0,06	0,06
2	Parking firmy transportowej	1,4	3,1	0,008	1,88	49°58'44.8"N 18°29'47.1"E	0,11	0,11
3	GKP 110°, parking firmy transportowej	1,6	3,3	0,009	2,00	49°58'45.3"N 18°29'46.4"E	0,12	0,12
4	GKP 110°, przy budynku firmy	1,4	3,1	0,008	1,91	49°58'45.9"N 18°29'46.5"E	0,11	0,11
5	Przy garażu	1,1	2,4	0,006	1,98	49°58'44.6"N 18°29'48.6"E	0,09	0,09
6	GKP 240°, przy budynku przemysłowym	1,3	2,9	0,008	1,95	49°58'42.8"N 18°29'50.3"E	0,10	0,10
7	GKP 240°, przy budynku	0,8	1,7	0,005	0,3-2,00	49°58'43.3"N 18°29'48.4"E	0,06	0,06
8	GKP 350°, parking firmy Linter	1,2	2,6	0,007	1,97	49°58'42.9"N 18°29'45.5"E	0,09	0,10
9	Parking firmy Linter	0,8	1,7	0,005	0,3-2,00	49°58'42.7"N 18°29'44.9"E	0,06	0,06
10	GKP 350°, droga przy ciepłowni	0,8	1,7	0,005	0,3-2,00	49°58'42.5"N 18°29'44.4"E	0,06	0,06
11	Przy budynku ciepłowni	1,4	3,1	0,008	2,00	49°58'43.4"N 18°29'43.9"E	0,11	0,11
12	Przy opuszczonym budynku	1,1	2,4	0,006	1,97	49°58'44.7"N 18°29'44.7"E	0,09	0,09

13	Między pustostanami	0,8	1,7	0,005	0,3-2,00	49°58'41.8"N 18°29'47.2"E	0,06	0,06
14	Między pustostanami	0,8	1,7	0,005	0,3-2,00	49°58'42.1"N 18°29'47.0"E	0,06	0,06
15	GKP 350°, teren zieleni	1,0	2,2	0,006	1,21	49°58'40.7"N 18°29'38.4"E	0,08	0,08
16	GKP 350°, teren zieleni	0,8	1,7	0,005	0,3-2,00	49°58'36.3"N 18°29'28.1"E	0,06	0,06
17	GKP 110°, chodnik, ul. Teligi	1,4	3,1	0,008	1,78	49°58'54.7"N 18°29'44.4"E	0,11	0,11
18	GKP 110°, przy budynku, ul. Teligi 58	1,6	3,3	0,009	1,68	49°58'57.0"N 18°29'43.7"E	0,12	0,12
19	GKP 240°, przy budynku szkoły	1,8	3,8	0,010	1,43	49°58'41.1"N 18°29'56.8"E	0,13	0,14
20	Chodnik, ul. 1-go Maja	1,4	3,1	0,008	1,84	49°58'37.9"N 18°29'04.6"E	0,11	0,11

Przy wskazaniach sondy poniżej czułości (<0,8 V/m), dla punktu pomiarowego, przyjęto wartość 1,7V/m i 0,005A/m oraz WME i WMH 0,06 z uwzględnieniem poprawki pomiarowej i niepewności

1 - GKP – Główny Kierunek Pomiarowy

2 – wynik pomiaru, z uwzględnieniem współczynników Cf (charakterystyka częstotliwościowa) i Cd (charakterystyka dynamiczna).

3 - wynik pomiaru natężenia skutecznego pola elektromagnetycznego z uwzględnieniem poprawki pomiarowej powiększony o niepewności pomiaru. Wartość chwilowa, zgodnie z pkt. 11 załącznika do rozporządzenia Ministra Klimatu z dnia 17lutego 2020r. (poz. 258)

4 - wartość wyznaczona na podstawie pomiaru wartości skutecznej natężenia pola elektrycznego, z zależności:  $H = E/377$ , z uwzględnieniem poprawki pomiarowej i niepewności pomiaru.

5. wysokość liczona jest od poziomu podłoża, gruntu

6 - wartości wskaźnikowe zgodnie z pkt.25 ppkt.1 rozporządzenia Ministra Klimatu Dz. U. 2020 poz.258:

$$WM_E = \frac{E}{\min(MEgr)}$$

$$WM_H = \frac{H}{\min(MHgr)}$$

gdzie:

WME (WMH) – oznacza wartość wskaźnikową poziomu emisji pól elektromagnetycznych dla miejsc dostępnych dla ludności dla składowej elektrycznej (magnetycznej) pola,

E (H) – oznacza zmierzoną wartość skuteczną natężenia pola elektrycznego E, wyrażoną w V/m, (natężenia pola magnetycznego H, wyrażonego w A/m), uśrednioną w sposób określony w przepisach wydanych na podstawie art. 122 ust. 1 ustawy z dnia 27 kwietnia 2001 r. – Prawo ochrony środowiska lub zgodnie z pkt. 11 załącznika do rozporządzenia Ministra Klimatu z dnia 17lutego 2020r. (poz. 258)

min(MEgr), (min MHgr) – oznacza najniższą dopuszczalną wartość składowej elektrycznej (magnetycznej) pola dla objętego pomiarami zakresu częstotliwości dla miejsc dostępnych dla ludności określoną w przepisach wydanych na podstawie art. 122 ust. 1 ustawy z dnia 27 kwietnia 2001 r. – Prawo ochrony środowiska wyrażoną w V/m rozporządzeniem Min. Zdrowia z 17 grudnia 2019 roku Dz.U2019 poz.2448.

Oszacowana niepewność rozszerzona przeprowadzonych pomiarów natężenia pola elektromagnetycznego nie przekracza 27,5 % (niepewność rozszerzona przy prawdopodobieństwie rozszerzenia ok.95% i współczynniku k=2).

Badanie wykonywano metodą dwóch sond szerokopasmowych opisaną w dokumencie Z7.4.5 Ocena możliwości realizacji metody badawczej wydanie z 2020-03-05 W każdym z pionów pomiarowych sprawdzono i wykluczono udział promieniowania radiolinii w badanym widmie, korzystając z w/w metody.

### 13. Podsumowanie

Dopuszczalny poziom promieniowania, dla poszczególnych zakresów częstotliwości, charakteryzują parametry fizyczne określone w załączniku do Rozporządzenia Ministra Zdrowia z dnia 17 grudnia 2019 r. w sprawie dopuszczalnych poziomów pól elektromagnetycznych w środowisku (Dz. U. 2019, poz. 2448) – tabela nr 7.

Tabela nr 7 – Dopuszczalne poziomy pól elektromagnetycznych dla miejsc dostępnych dla ludności.

Zakres częstotliwości pola elektromagnetycznego	Składowa elektryczna E (V/m)	Składowa magnetyczna H (A/m)	Gęstość mocy S (W/m <sup>2</sup> )
0 Hz	10000	2500	ND
Od 0 Hz do 0,5 Hz	ND	2500	ND
Od 0,5 Hz do 50 Hz	10000	60	ND
Od 0,05 Hz do 1 kHz	ND	3 / f	ND
Od 1 kHz do 3 kHz	250 / f	5	ND
Od 3 kHz do 150 kHz	87	5	ND
Od 0,15 MHz do 1 MHz	87	0,73 / f	ND

Od 1 MHz do 10 MHz	$87 / f^{0,5}$	0,73 / f	ND
Od 10 MHz do 400 MHz	28	0,073	2
Od 400 MHz do 2000 MHz	$1,375 \times f^{0,5}$	$0,0037 \times f^{0,5}$	f / 200
Od 2 GHz do 300 GHz	61	0,16	10

Podczas badania przyjęto, jako wartości dopuszczalną poziomą pola elektromagnetycznego w środowisku wartość  $2 \text{ W/m}^2$  ( $28 \text{ V/m}$ ), tj. wartość dopuszczalną dla dolnego zakresu pasma 400MHz - 2000MHz.

Pomiary wykonano dla średniego kąta pochylenia wiązki. Przeprowadzone badania w środowisku, w obszarze pomiarowym, w otoczeniu badanej stacji bazowej, w zmierzonych pionach pomiarowych, nie wykazały przekroczenia 60% wartości dopuszczalnych poziomów pól elektromagnetycznych. W związku z tym nie wymagane są dodatkowe pomiary dla największego i najmniejszego stosowanego lub planowanego kąta pochylenia wiązki, zgodnie z pkt 13. ppkt. 2 załącznika do rozporządzenia Ministra Klimatu z dnia 17 lutego 2020r. (poz.258).

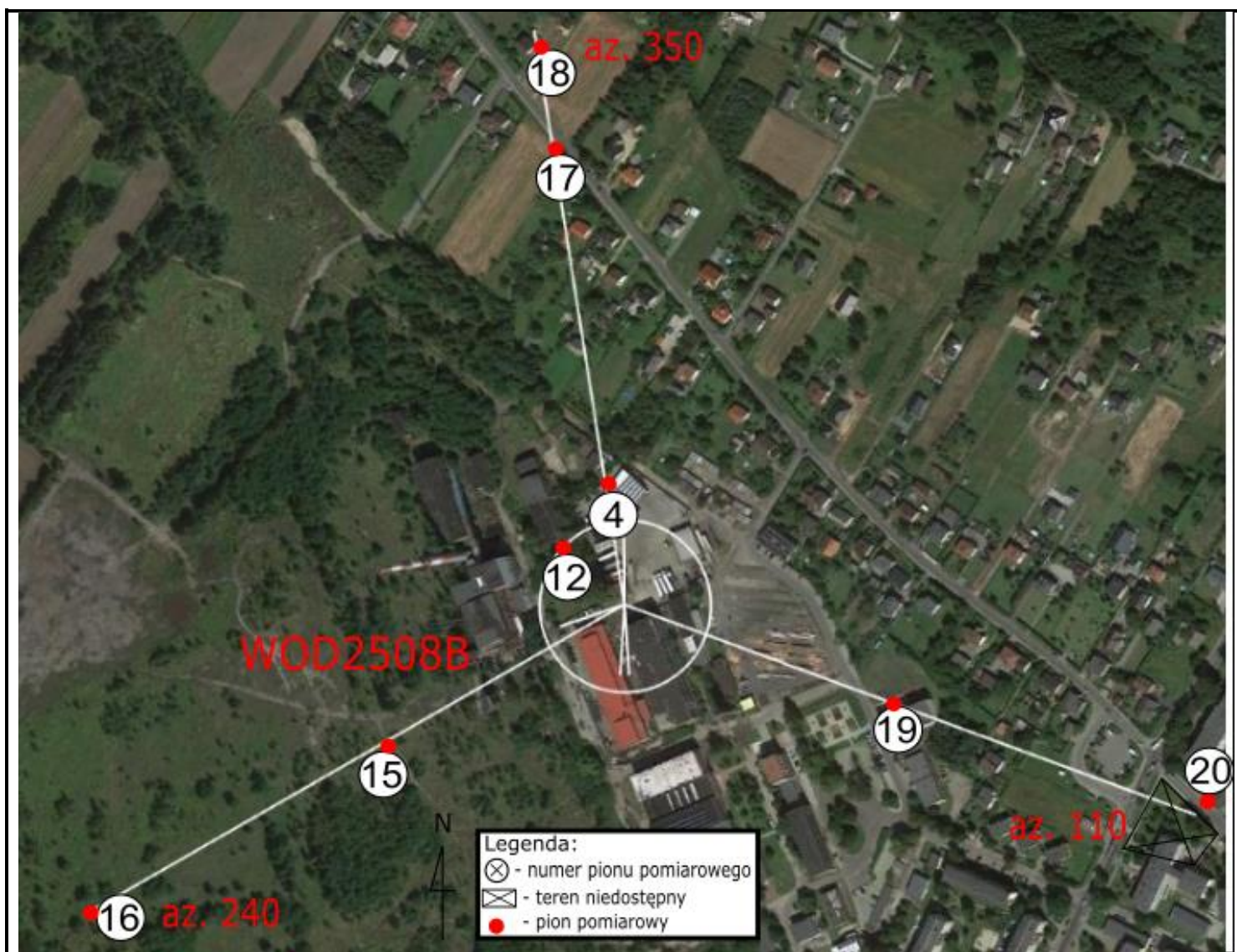
### Stwierdzenie zgodności:

Na podstawie wytycznych wskazanych w Rozporządzeniu Ministra Klimatu z dnia 17 lutego 2020 r. w sprawie sposobów sprawdzania dotrzymywania dopuszczalnych poziomów pól elektromagnetycznych w środowisku (Dz. U. 2020, poz. 258) oraz na podstawie otrzymanych wyników pomiarów i informacji uzyskanych od klienta, stwierdzono iż w miejscach dostępnych dla ludności do których uzyskano dostęp, w żadnym punkcie/pionie pomiarowym, w środowisku wokół stacji bazowej **WOD2508B** nie występują przekroczenia dopuszczalnych poziomów pól elektromagnetycznych, określonych w tabeli nr 7, w badanym zakresie pomiarowym od 400MHz do 90 GHz.

Dopuszczalne poziomy pól elektromagnetycznych w środowisku określone w przepisach wydanych na podstawie art.122 ust. 1 ustawy z dnia 27 kwietnia 2001 r. – Prawo ochrony środowiska uznaje się za dotrzymane w badanym obszarze pomiarowym, w zmierzonych pionach pomiarowych, gdyż w wyniku zastosowania sprawdzenia dotrzymywania dopuszczalnych poziomów pól elektromagnetycznych w środowisku, o którym mowa w pkt. 25 ppkt.1 i pkt. 26 (załącznika do rozporządzenia Dz. U. 2020, poz. 258), żadna z wartości wskaźnikowych nie przekracza 1.

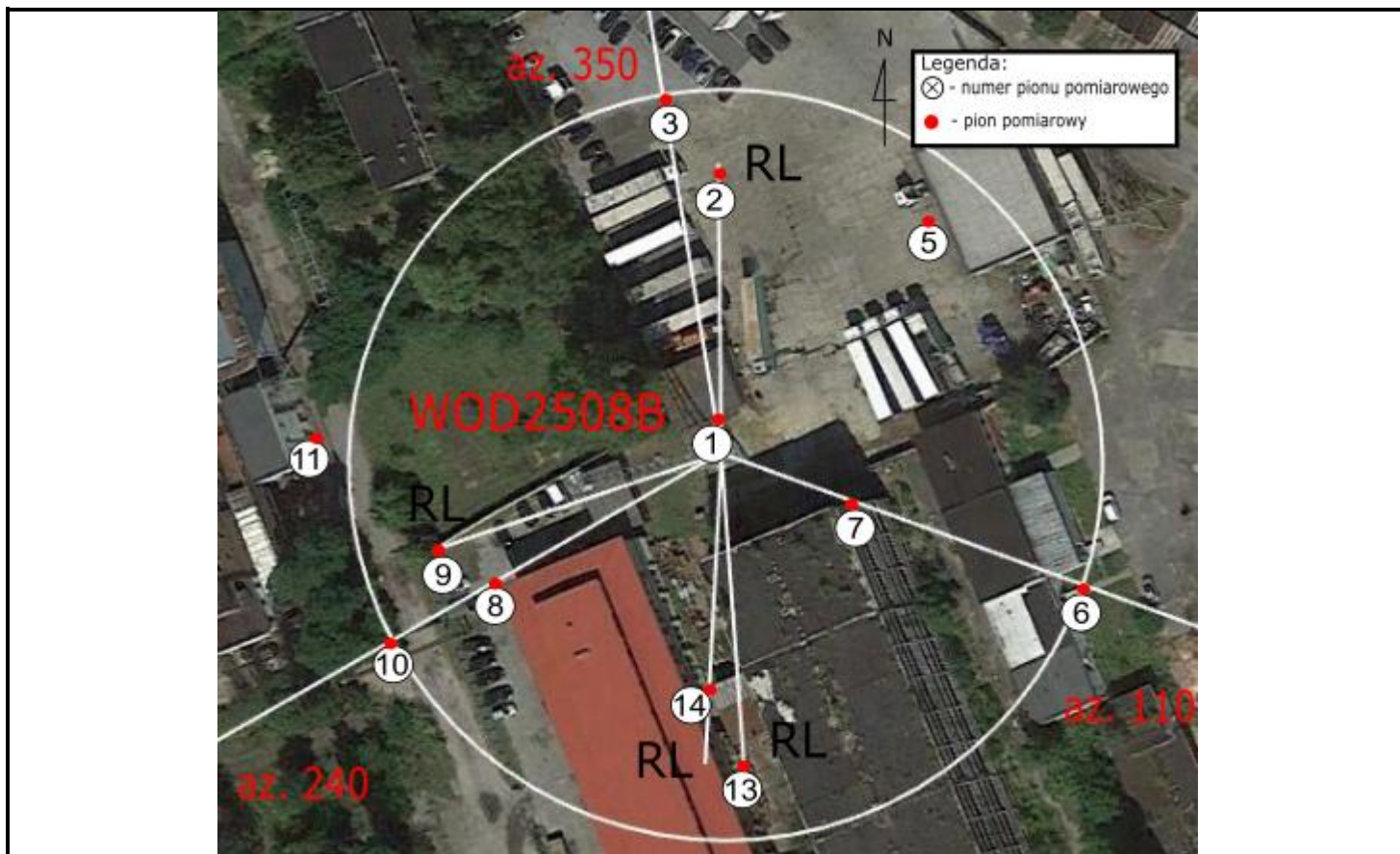
## 14. Załączniki

Załącznik nr 1 – Rysunek poglądowy terenu, rozmieszczenie pionów pomiarowych na terenie wokół stacji,  
Załącznik nr 2 – Rysunek poglądowy terenu, rozmieszczenie pionów pomiarowych na terenie bezpośrednio wokół stacji, powiększenie




Zdjęcie satelitarne: Image © 2021 Google





Zdjęcie satelitarne: Image © 2021 Google

 <p><b>anteo</b> Laboratorium Badawcze</p>	<p><b>Załącznik nr 2 – Rysunek poglądowy terenu, rozmieszczenie pionów pomiarowych na terenie bezpośrednio wokół stacji, powiększenie WOD2508B – Wodzisław Śląski, Os. 1-go Maja, dz. nr 2313/35</b></p>	<p><b>Wykonał:</b> mgr Daniel Kukielka</p>	<p><b>Skala:</b> 1:590</p>
--	--	--	--------------------------------

**Koniec sprawozdania**